



DX-MB 2338 – 25. Januar 2023

DX Mitteilungsblatt

DARC-Referat DX

Editor: Andreas Salder, DK5ON

(E-Mail: dxmb@darc-dxhf.de)

(<https://www.darc.de/der-club/referate/dx/>)



Deutscher Amateur-Radio-Club e.V.

Bundesverband für Amateurtunk in Deutschland

Wöchentlich erscheinende DX-Mitteilungen des DARC – Referates DX

DX - Aktivitäten



5H, TANZANIA:

Jeyaprakash VU2BGC ist zurück in Iringa, Tansania und ab dem 17.1. meist in CW auf 20m unter dem Rufzeichen **5H6PJ** QRV. QSL direkt an H/c.



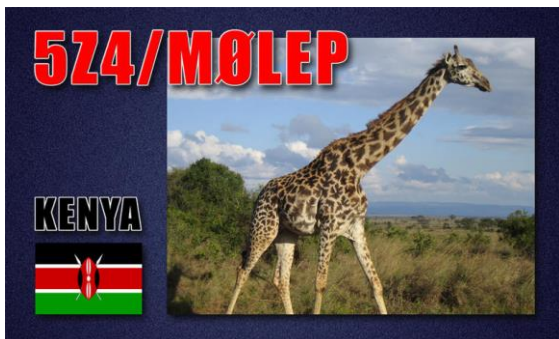
5V, TOGO:

Filippo IK4ZHH wird aus Adétikopé, Togo ab dem 23.1. unter dem Rufzeichen **5V22FF** auf 40m bis 10m in CW und SSB in der Luft sein. Er bleibt mindestens bis zum 31.1. in Togo. QSL via ClubLog



5Y,5Z, KENYA:

Rick M0LEP ist zurzeit in Nairobi und in seiner Freizeit in CW und SSB auf den Bändern von 20m bis 6m unter dem Rufzeichen **5Z4/M0LEP** QRV. Dort bleibt er bis zum 30.1. QSL an H/c oder über OQRS, er bestätigt aber die Verbindungen auch über eQSL und LoTW.



F, FRANCE:

Anlässlich der zwei Runden der französischen HF-Meisterschaft in CW (28.-29. Januar) und SSB (25.-26. Februar) wurde der Radioclub F4KLW von der REF ausgewählt, das Rufzeichen **F6REF** zu verwenden. Dieses Rufzeichen verteilt während des Wettbewerbs den einzigartigen Multiplikator "00". QSL via F4KLW über das REF-Büro



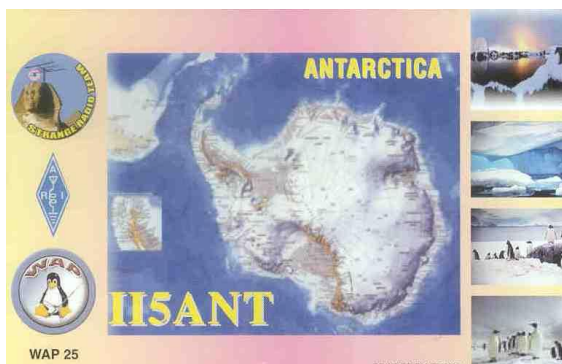
F, FRANCE:

Das Sonderrufzeichen **TM25PVJ** wird vom 22. Januar bis zum 5. Februar für das 25. "Perceée du Vin Jaune" aktiviert, dem Fest zur "Eröffnung des gelben Weins", das dieses Jahr in Voiteur (Jura) stattfindet. QSL über F8GGZ.



I, ITALY:

Zur 20. Antarctic Week vom 19.2. bis zum 26.2. sind mehrere Sonderstationen aus Italien in der Luft. Folgende Rufzeichen werden aktiviert: **II5ANT, IB2WAP, IR2A, IR1ANT** und **II2YLPS (WAP-351)**. (Informationen unter www.waponline.it). QSL II5ANT via IZ5BTC (d/B), IB2WAP via eQSL, IR2A via IK2JYT (d/B), LoTW oder eQSL, IR1ANT via I1HYW (d/B) und II2YLSP via IZ2ELV (d mit SASE)



DX-MB vom 25. Januar 2023, Nummer 2338

Die deutsche Text-Version finden Sie auf unserer Homepage:
<https://www.darc.de/der-club/referate/dx/dxmb/>





I, ITALY:

Zum 100 Jahrestag der italienischen Air Force ist die Sonderstation **IB2WAP** (WAP-347) auf den Kurzwellen Bändern in der Luft. QSL via eQSL



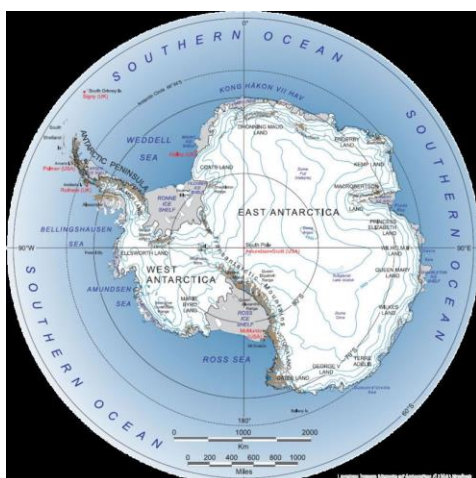
JA, JAPAN:

Zur West-Japan Ham Fair ist die JARL Special Station **8J6HAM** auf den Kurzwellenbändern und den Satelliten bis zum 12. März QRV. QSL via JA6DJZ für SAT-Verbindungen und für Kurzwelle über das JARL Büro.



PA, NEDERLANDS:

Die 20. Antarktis-Aktivitätswoche findet vom 19.02 bis 26.02 statt, aber das Sonderrufzeichen **PA6ANT** ist vom 21.01 bis zum 06.03 auf den Bändern in SSB, CW und Digital Modes aktiv. Die Referenznummer lautet WAP-221 und die QSO's sind gültig für das Worldwide Antarctic Program (Informationen unter www.waponline.it). QSL via PA3FOE (B), LoTW, direkt mit SASE oder eQSL



RA, RUSSIA:

Zum 30. Jahrestag des „Russian Robinson Club – RRC“ ist das Vostok Trasm SES auf der Vostok Basis in der Antarktis mit dem Rufzeichen **RI30ANT** vom 1.1. bis zum 31.3. auf den Bändern QRV. QSL via RZ3EC



VE, CANADA:

Chris VE3FU / **VO2AC** und Dave VE3KG / **VO2AAA** werden zwischen dem 25. und 30. Januar vom Leuchtturm in Point Amour, Labrador (Zone 2, Locator GO11nl) aktiv sein. Im CQWW 160-Meter CW Contest sind sie unter **VO2AC** aktiv und versuchen möglichst viele Punkte in das Log zu bekommen. Außerhalb des Contests sind sie auf 160m, 80m, 40m und über Satelliten zu hören. QSL VO2AC über LoTW oder VE3FU (d/B); QSL VO2AAA über LoTW oder via VE3KG (d)



VE, CANADA:

Zur 50 Jahr Feier der Stadt Cambridge, Ontario ist vom 1.2. bis zum 15.2. die Sonderstation **VB3CAM50** auf den Bändern zu hören. QSL-Informationen nicht vorhanden.



YS, EL SALVADOR:

Roberto I2JIN ist seit dem 10.1. unter dem Rufzeichen **YS3CW** aus El Salvador QRV. Er arbeitet in CW und FT8 auf 80m bis 10m mit 100W und bleibt bis zum 29.1.. QSL via H/c (d) oder LoTW



DX News



TN, CONGO:

Die CDXP-Mitglieder beendeten die Expedition unter dem Rufzeichen **TN8K** am 20.1. um 06:20 UTC. Sie machten in den knapp 14 Tagen 164.939 Verbindungen, was sie auf Platz 6 der Mega-DXpeditions-Ehrenliste aller Zeiten bringt. Noch nie hat jemand so viele Verbindungen in weniger als 14 Tagen mit nur acht OP's gemacht. Dieses Ergebnis wird schwer zu toppen sein. F4BKV, IK0XBX, SV1FJA und EA3CJ konnten TN8K in 45 Slots von 48 möglichen Slots erreichen. QSL an OK6DJ via OQRS.



EU-013; GJ, MJ, JERSEY:

Vom 27. Bis zum 29. Januar, während des CQWW CW 160m Contest, wird Bo GU4YOX von Jersey unter **MJ5E** QRV sein. QSL via H/c



Insel - Aktivitäten



Zusammengestellt von Andreas, DK5ON
(E-Mail: dk5on@darc.de)

IOTA-Vorzugsfrequenzen

CW: 28040 24920 21040 18098 14040 10114
7030 3530 kHz
SSB: 28560 28460 24950 21260 18128 14260
7055 3760 kHz



AS-003; SRI LANKA ISLAND:

Peter **4S7KKG/DC0KK** und Wolfgang **4S7DRG/DK9DR** werden vom 29. Januar bis zum 7. Februar 2023 wieder von der früheren DW-Kurzwellenstation, jetzt im Besitz von Sri Lanka Broadcast SLBC, in der Nähe von Perkar, Trincomalee (Grid NJ08NR) an der Ostküste Sri Lankas aktiv sein. Sie planen den Betrieb auf den Kurzwellen-Bändern von 80m bis 10m und werden die großen Vorhangantennen mit bis zu 20dBi Antennengewinn für ihre Aktivität nutzen können. Die Betriebsarten werden vorwiegend FT4/8 und SSB sein. Bei starkem Andrang werden sie FT8 im F/H Mode oberhalb der Standard Frequenz nutzen. Die voraussichtlichen Betriebszeiten sind von 04:35...12:55 und 17:35...18:55 und 23:05...23:55 UTC in den Sendepausen der starken SLBC-Sender. QSL via ihrer H/c's oder LoTW



NA-104; V4, ST KITTS AND NEVIS:

John W5JON ist wieder vom 31. Januar bis zum 15. Februar in seinem Haus am Calypso Bay auf St. Kitts and Nevis und unter seinem Rufzeichen **V47JA** auf den Bändern von 6m bis 160m in SSB und FT8 QRV. QSL via V47JS oder W5JON (d), auch LoTW ist möglich.



Informationen geplanter Insel - Aktivitäten



AN-002; 3Y, BOUDET ISLAND:

Das Segelschiff „MARAMA“ hat am 17.1. den Hafen in Port Stanley auf den Falkland Inseln kurz nach 17:15 Uhr verlassen. Das Segeln ist bisher ruhig, aber die meisten OP's leiden unter der Seekrankheit. Am 20.1. hatten sie 1500 km zurückgelegt und näherten sich der Insel Südgeorgien. Je näher sie der Insel kommen, desto stärker wird der Wind. Es sind noch etwa 2550 km zu segeln, um die Insel Bouvet zu erreichen. Das Wetter rund um die Bouvetinsel liegt am Samstag 21.1. bei einer Temperatur von 0 Grad bei einem Wind von 26km/h, in Böen sind es 32km/h. Wie schon in der letzten Ausgabe geschrieben, wird es während der Überfahrt kein Funkbetrieb unter /MM geben. Das Wetter auf und um Bouvet Island kann man hier abfragen:

<https://www.windy.com/-54.381/3.301?--56.717,0.527,5,m:8taggK>

POTA - Aktivitäten



Parallel zu dem WWFF-Programm gibt es auch ein „**Parks On The Air ® (POTA)**“ Programm. Dieses beinhaltet auch Referenzen der Parks und ein Diplomprogramm. Mehr Informationen auf der Homepage <https://parksontheair.com/>

I-1280, Biotopo Torbiera di Rasun – Rasner Moeser Provincial Park

Moreno **IK3OBX/p** ist am 25.01. 1100UTC bis zu, 26.01. 1500 UTC in CW und SSB auf 40m QRV. QSL via H/c (d/B), eQSL oder LoTW

K-2559, Beaverhead Rock State Park

Stacy **KK7CJV** ist auf den klassischen Bändern von 10m bis 40m in SSB am 25.1. von 200 UTC bis 2345 UTC in der Luft. QSL via H/c (d/B)

K-4499, Beaverhead-Deerlodge National Forest

Stacy **KK7CJV** ist am 26.1. von 0300 UTC bis 0801 UTC auf 40m und 80m in SSB eine interessante QSO Partnerin. Sie probiert eine neue Antenne auf 80m aus und hofft auf viele Kontakte. QSL via H/c (d/B)

K-2565, Clarks Lookout State Park

Stacy **KK7CJV** ist nach ihrer Aktivierung von K-4499 am 26.01. von 1600 UTC bis 2200 UTC auf 10m/15m/20m in SSB QRV. QSL via H/c (d/B)

GM-0069, Eilean na Muice Duibhe (Isle Of Islay) National Nature Reserve

Am 27.01. von 1000 UTC bis 1400 UTC ist Iliyas **MM0MMN** auf den HF Bändern QRV. QSL via H/c (d/B), QRZ, eQSL oder LoTW

K-0954, Organ Pipe Cactus National Monument

Jiim **KJ7KNW** ist vom 27.1. 1200 UTC bis 29.1. 1200 UTC auf den Bändern von 20m bis 10m inkl. WARC Bändern in SSB und FT8 QRV. QSL via H/c, LoTW oder QRZ.com

GM-0107, Jura Scenic Site

Iliyas **MM0MMN** plant am 27.1. 1500 UTC bis 1900 UTC auf der Kurzwelle QRV zu sein. QSL via H/c (d/B), QRZ, eQSL oder LoTW

K-5593, Boise River Wildlife Management Area

Auf 40m ist Todd **KK7ISX** am 27.1. 200 UTC bis 2200 UTC in SSB QRV. Er plant auch auf 18100 MHz und 14300 MHz in der Luft zu sein. QSL via H/c (d/B)

YY-0004, El Avila (Waraira Repano) National Park

Javier **YY5OEM** ist auf den Bändern 40m, 20m, 15m und 10m in SSB und FT8 am 27. ab 2100 UTC bis zum 27.1. 14:00 UTC im Winter Fieldday QRV.

K-1297, Fairy Stone State Park

Rob **KB8UEY** plant auf den Bändern von 6m bis 160m im Winter Fieldday QRV zu sein. Er wird von Robert **K8GIB** und David **W4CPO** begleitet. Außerhalb des WFD sind sie mit ihren Calls QRV und während des WFD funken sie unter dem Rufzeichen **K1CCN**. QSL via ihrer H/c's (d/B)



K-0954, Organ Pipe Cactus

National Monument

David **AE9Q** ist auf 30m und 17m am 27.1. ab 2200 UTC bis 28.01. 2201 UTC mit dem Tortolita Radio Club im Winter Field Day QRV. QSL via H/c (d/B), LoTW, QRZ oder eQSL

K-3432, Folsom Lake State Recreation Area

Vom 27.1. 2301 UTC bis zum 29.01. 1700 UTC ist Bill **N6EF** auf 20m und 40m in CW und SSB QRV. Er nimmt auch am Winter Field Day teil. QSL via H/c (d/B)

CA-0147, Cerro Dragon Sanctuary

Am 28.01. von 0000 UTC bis 2359 UTC ist das "TEAM IQUIQUE" unter dem Rufzeichen **CB1YL** auf den Bändern QRV. QSL via XQ1ROA (d/B)

HK-0088, Embalse el Peñol y Cuenca Alta del Río Guatapé State Conservation Area

Auf der Kurzwelle und den UHF/VHF Satelliten ist Alex HK4SSI unter dem Rufzeichen **HK4LRM** am 28.01. 0001 UTC bis 29.01. 2356 UTC QRV, QSL via H/c (d/B) oder QRZ.com



JA-1552, Ball Park Awaji Provincial Park

Am 28.01. von 0100 UTC bis 0200 UTC ist Tadashi **JG3AGB/p** auf 40m in FT8 QRV. QSL via H/c, eQSL



JA-1539, Awajishima Provincial Park

Tadashi **JG3AGB/p** ist nach seiner Aktivität in JA-1552 ab 0200 UTC bis 0300 UTC auf 40m in FT8 aus JA-1539 QRV.

JA-0211, Akashi Kaikyo National Recreation Area

Als letzte Aktivität des Tages ist Tadashi **JG3AGB/p** auf 40m in FT8 von 0400 UTC bis 0500 UTC aus JA-0211 QRV. QSL via JA3AGB (d/B) oder eQSL

K-3432, Folsom Lake State Recreation Area

Ben **N3BEN** ist in CW und SSB am 28.1. ab 0959 UTC bis zum 29.01. 1059 UTC im Winter Field Day QRV. QSL via H/c (d), QRZ.com oder LoTW

XE-0252, Bicentenario State Park

Garcia **XE1CIC** wird am 28.01. ab 1600 UTC bis zum 29.01. 0000 UTC den Park XE-0252 zum ersten Mal auf 20m, 17m, 15m und 10m in SSB aktivieren. QSL via H/c (d)

K-7689, Arcadia Conservation Reserve

Vom 28.01. 1900 UTC bis zum 29.01. 1859 UTC ist Randy **N5ILQ** tagsüber auf 40m, 20m, 15m, 10m in CW im Winter Field Day QRV. QSL via QRZ.com, LoTW, ClubLog oder (d/B)

K-2801, Roman Nose State Park

Aus dem Roman Nose State Park ist Michael **N8COM** auf 10m, 20m und 40m in SSB und evtl. in Digital am 28.01. 1900 UTC bis zum 29.01. 1855 UTC im Winter Field Day QRV. QSL nur via eQSL

K-1641, Denali State Park

Zum Winter Field Day meldet sich Brandon **KL7BSC** auf 20m oder höher in den Digital Modes aus dem Denali State Park. QSL via LoTW



K-3432, Folsom Lake State Recreation Area

Jason **KB6Q** plant zum Winter Field Day am 28.01. von 2000 UTC bis zum 29.01. 2355 UTC in QRP und CW aus K-3432 Folsom Lake State Recreation Area QRV zu sein. QSL via H/c (d/B)

KW Conteste**Termine Januar 2023:**

27/29.	CQWW 160m Contest CW 2200 UTC - 2200 UTC 160m CW
28/29.	REF Contest CW 0600 UTC - 0600 UTC 80m - 10m CW
28/29.	BARTG RTTY Sprint 1200 UTC - 1200 UTC 80m - 10m RTTY
28/29.	UBA DX Contest SSB 1300 UTC - 1300 UTC 80m - 10m SSB

Die Ausschreibungen finden Sie ebenfalls auf <http://www.darc.de/der-club/referate/conteste/> sowie mittels der Contest Termin-Tabelle in der CQ DL 01/2023 auf Seite 64.

Kalender

von	-	bis	DX	DX-MB
29.01.	-	07.02.	4S7DRG	2338*
29.01.	-	07.02.	4S7KKG	2338*
21.01.	-	31.01.	5H3FM	2337
	-	17.01.	5H6PJ	2338*
23.01.2023-	31.01.	5V22FF	2338*	
	-	23.01.	5X7W	2336
	-	30.01.	5Z4/MOLEP	2338*
22.12.	-	20.01.	6W1/WA3DX	2333
22.12.	-	20.01.	6W6/WA3DX	2333
22.12.	-	20.01.	6W9/WA3DX	2333
27.11.	-	11.01.	6Y5/W8YCM	2330
18.12.22	-		6Y/N0GJW	2336
01.12.	-	11.01.	6Y8LV	2331

13.01.	-	04.02.	7U7C	2336
	-	31.03.	8J1H90T	2330
	-	12.03.	8J6HAM	2338*
13.01.	-	25.01.	8P9CB	2336
01.01.23	-	29.03.	9M2MRS	2334
	-	30.01.	A75GC	2336
01.01.23	-	15.01.	AT18BSG	2335
15.12.	-	12/23	AT42I	2332
28.11.	-	24.02.	C5YK	2331
01.05.	-		C83YT	2301
	-		C91CCY	2322
03.01.23	-	21.01.	D44TWO	2334
			DA0WB	2334
01.01.23	-	31.12.	DB100RDF	2335
20.02.	-	19.02.	DKØHN	2285
26.01.	-	25.01.	DLØOF	2288
07.05.	-	06.05.	DL1640Y	2312
01.10.	-	30.09.	DR45HAAN	2330
01.01.23	-	30.05.	DR100XRAY	2335
	-	21.01.	DU9/ON5SM	2335
07.01.23	-	10.01.	EG1NMP	2335
14.01.	-	21.01.	ET3AA	2336
	-		EX0ET	2335
28.01.	-	29.01.	F6REF	2338*
25.02.	-	26.02.	F6REF	2338*
19.01.	-	02.02.	FG/F5HRY	2337
01.09.	-	01.04.24	FH4VVK	2317
15.10.22	-	15.08.23	FJ4WEB	2336
11.01.	-	10.03.	FM/F6BWJ	2336
07.22	-		FO5QS	2312
	-	03.23	FT4YM	2324
25.12.22	-	26.01.	FT8WW	2335
	-	02.24	FW1JG	2287
26.12.	-	08.01.	FY/F4GPK	2333
01.01.	-	28.02.	GB2KW	2336
01.01.	-	28.02.	GB5KW	2336
01.01.	-	28.02.	GB8KW	2336
01.01.	-	28.02.	GW0KWD	2336
01.01.	-	28.02.	GW5KWD	2336
29.12.	-	22.01.	HC1FIT	2334
14.01.	-	05.02.	HF7SIEMA	2337
15.03.	-	15.03.	HG2ØØAN	2293
15.03.	-	15.03.	HG2ØØDO	2293
15.03.	-	15.03.	HG2ØØEF	2293
15.03.	-	15.03.	HG2ØØIR	2293
15.03.	-	15.03.	HG2ØØOT	2293
15.03.	-	15.03.	HG2ØØPS	2293
01.01.23	-	01.05.	HH75RCH	2334
	-		HK3/F4AHV	2332
25.07.	-	15.05.	HK3JCL	2307
23.11.	-	13.03.	HR5/F2JD	2329
01.01.	-		HS0ZIB	2336
06.11.	-	02.04.	HS0ZME	2326
17.01.	-	06.02.	HS0ZPU	2337
23.01.	-	31.01.	IG9/S59A	2337
19.02.	-	26.02.	IB2WAP	2338*
19.02.	-	26.02.	II2YLPS	2338*
01.01.	-	31.12.	II4ANC	2334
01.01.	-	31.12.	II4BRI	2334



01.01.	-	31.12.	II4CDV	2334	20.01.	-	27.01.	T88DN	2337
01.01.	-	31.12.	II4CGD	2334	20.01.	-	27.01.	T88ED	2337
01.01.	-	31.12.	II4CLT	2334	20.01.	-	27.01.	T88EF	2337
01.01.	-	31.12.	II4GAR	2334	20.01.	-	27.01.	T88MB	2337
01.01.	-	31.12.	II4GNV	2334	13.01.	-	19.01.	T88RH	2336
01.01.	-	31.12.	II4SML	2334	13.01.	-	19.01.	T88SM	2336
01.01.	-	31.12.	II4SPZ	2334	01.01.	-	31.12.	TC100	2337
01.01.	-	31.12.	II4SSM	2334	01.01.	-	31.12.	TC100TA	2337
01.01.	-	31.12.	II4STL	2334	01.01.	-	31.12.	TC100TR	2337
01.01.	-	31.12.	II4TRN	2334	01.01.	-	31.12.	TC100YEAR	2337
19.02.	-	26.02.	II5ANT	2338*	23.12.	-	03.01.23	TI7/VE3BW	2333
19.02.	-	26.02.	IR1ANT	2338*		-		TI8/F4AHV	2332
									
19.02.	-	26.02.	IR2A	2338*	09.01.2023-	12.01.	TK/DL2JRM	2336	
	-	06.23	J28HJ	2311	22.01.	-	05.02.	TM25PVJ	2338*
08.22	-		J28RC	2315		-	30.01.	TM50KGI	2336
01.10.	-		J5JUA	2323	17.01.	-	31.01.	TM100DOR	2336
24.12.	-	23.01.	JD1BMH	2333	06.01.23	-	21.01.	TN8K	2335
	-	31.01.	K3Y/0...9	2336		-		TO5Z	2328
14.05.	-		K4RC	2301	29.12.	-	15.03.23	TR8CR	2334
12/22	-	12/23	KC4AAC	2332		-	06/23	TT8SN	2320
	-	31.01.	KH6/K3Y	2336		-		TZ4AM	2311
	-	31.01.	KL7/K3Y	2336	12/22	-	03/23	V31TX	2333
	-	31.01.	KP4/K3Y	2336	31.01.	-	15.02.	V47JA	2338*
	-	31.01.	LY700VLN	2336	18.10.	-		V55WH	2324
10.01.	-	10.02.	LY1923KK	2335	06.2022	-		V73MS	2306
27.01.	-	29.01.	MJ5E	2338*	31.10.	-		V85NPV	2329
23.04.	-		OE22M	2298	01.02.	-	15.02.	VB3CAM50	2338*
01/23	-	06/23	OE40XTU	2332	29.12.	-	05.01.	VL9MTO	2334
18.01.	-	02.02.	P4/DL4MM	2337		-	04/23	VK9WX	2331
10.01.	-	08.02.	P4/VA3QSL	2335	25.01.	-	30.01.	VO2AAA	2338*
01.01.	-	31.12.	PA30SPARC	2337	25.01.	-	30.01.	VO2AC	2338*
21.01.	-	06.03.	PA6ANT	2338*	2.1.23	-	31.03.	VP2MDX	2334
01.01.	-	31.12.	PA85TP	2337	07.01.	-	15.01.	VP2V/N2TSR	2336
01.01.	-	31.12.	PI9TP	2337		-		VP5MA	2302
23.12.22	-	05.01.23	PJ2/DD0VR	2333	01.12.	-	01.23	VP8/SQ1SGB	2331
09.01.	-	06.02.	PJ2ND	2336		-		VP8AAE	2320
27.01.	-	29.01.	PJ2T	2336	12/22	-	01/23	VP8RAF	2332
01.01.	-	13.01.	PJ4/DD0VR	2334	12/22	-	01/23	VP8TAA	2332
			RI1ANC	2335					
24.10.	-	24.03.23	RI1ANU	2324	14.05.	-		W1M	2301
01.01.	-	31.03.	RI30ANT	2338*		-	08.01.	W2P	2335
	-		RI41POL	2321	15.01.	-	31.01.	W9DOR	2336
01.05.	-		S035S	2301		-	14.01.	WA5LFD/p	2330
	-	15.01.	SP90ENIGMA	2366	21.08.	-		XZ2A	2316
	-	15.01.	SP90ENG	2336	25.06.	-		XZ2B	2309
01.01.	-	31.12.	TC100	2337		-	12/25	YB8QT	2330
20.01.	-	27.01.	T88DK	2337	15.05.	-	21.05.	YE3BYE	2337
					01.12.22	-	30.06.23	YR1200VT	2333



10.01.	-	29.01.	YS3CW	2338*	5H3SE	via	(L)
01.09.	-		Z6/KN4PRE	2317	5H5PJ	via	(e) & (L)
28.08.	-		ZA/DG7PX	2317	5H8HZ	via	TA1HZ (d), (L), (e)
23.08.	-		ZA/Z35M	2315	5KØT	via	LU1FM (d), (L), (e)
12/22	-		ZA15K	2333	5K0YD	via	IK2DUW (d)
			ZC4GR	2336	5K6RM	via	HK6RM (B), (L)
29.12.22	-	05.01.23	ZF2IT	2334	5N/KE5GUR	via	KE5GUR (d), (e)
25.08.	-		ZL4/VE6TC	2318	5P1KZX	via	OZ1KZX (B), (L), (e)
15.07.	-		ZL7/ZL1VV	2311	5P1OT	via	SP1OT (B)

* = neu oder aktualisiert

.. = und andere Calls

QSL-Informationen

3A/F6EXV	via	F6EXV	5H3SE	via	(L)
3A/IR1DCI	via	IK1GPG (B)	5H5PJ	via	(e) & (L)
3A/PB8DX	via	PB8DX	5H8HZ	via	TA1HZ (d), (L), (e)
3A/DL2SBY	via	DL2SBY (d), (L)	5KØT	via	LU1FM (d), (L), (e)
3A3A	(L)		5K0YD	via	IK2DUW (d)
3A6M	via	F6EXV ((O)), (B), (L)	5K6RM	via	HK6RM (B), (L)
3B8/DK6SP	via	DK6SP (B), (L)	5N/KE5GUR	via	KE5GUR (d), (e)
3B8/KX7M	via	F5CWU (B)	5P1KZX	via	OZ1KZX (B), (L), (e)
3B8X	via	PFØX (B), (L)	5P1OT	via	SP1OT (B)
3B9/MØCFW	via	(L)	5P5Q	via	OZ9XU (B), (L), (e)
3C3CA	via	TA2OM (B), (L), (e)	5P5T	via	OZ1FDH (L), (e)
3X1A	via	F1TMY QSL nur (C)	5P6MJ	via	OZ6MJ (L), (e)
3Z3ØPAR	via	SP4KM (B), (L)	5P8VW	via	DJ8VW (B), (L), (e)
3Z7ØFI	via	SP9JPA (B)	5Q5CW	via	DL5CW (B), (L)
3Z95PRK	via	SP9MRP (B)	5Q7DX	via	PA7JWC (B), (L)
4D3X	via	W3HNK (d), (L)	5R8CG	via	DL2AWG (B), (L)
4J6D	via	DC9RI, (L)	5R8FG	via	IZ6BRJ (B)
4K7DK	via	DK1DKE (B)	5R8MM	via	DL2AWG (B), (L)
4L1FP	via	K6VHF (B), (L), (e)	5R8PA	via	DL2AWG (B), (L)
4L8A	via	MØOXO (B-(O)), (L)	5R8WG	via	DL2AWG (B), (L)
4S7RO	via	F6BFH (B), (*)	5R8WP	via	DL2AWG (B), (L)
4U1A	via	UA3DX (B), (L)	5R8AL	via	G3SWH (d), (L)
4U1VIC	via	UA3DX (d/B)	5WØRS	via	IT9YVO (d)
4U1XMAS	via	UA3DX (B)	5X3R	via	IK2DUW
4W/JH2EUV	via	JH2EUV (B), (L)	5X4E	via	IQ3CO (B); IZ3ZLG (d)
4W/VK1AO	via	VK1AO (L), (e)	5X7W	via	MØOXO (B) (L), (e)
4X6FR	via	4X6OM	5Z4VJ	via	MØURX (B OQRS), (L)
4X7XMAS	via	4X6ZM (B), (L), (e)	6D5C	via	XE1H (nur (L))
4X8XMAS	via	4X6ZM (B), (L), (e)	6W1/WA3DX	via	WA3DX (d), (L)
4X9XMAS	via	4X6ZM (B), (L), (e)	6W6/WA3DX	via	WA3DX (d), (L)
4Z8NER	via	4X6ZM (B), (L), (e)	6W9/WA3DX	via	WA3DX (d), (L)
5A1HA	via	F6BFH (B), (*)	6Y5/4S7RO	via	F6BFH (B), (*)
5A1AL	via	5A1AL ((O)), (L)	6Y5/W8YCM	via	W8YCM (d)
5B/NP2KY	via	5B-Bureau	6Y6ØHM	via	EA5GL (B)
5B4AQC	via	DK6SP (B), (L)	6Y8LV	via	W8YCM (d)
5B4AMM	via	UT5UDX (L), (e)	7A1B	via	EA7FTR (d), (L)
5B4YOTA	via	5B4CY (d), (B)	7G1RL	via	HA3JB (d), (L)
5C4ØDN	via	CN8DN (d)	7Q5RU	via	R7AL (L)
5E5R	via	CN8YZ (L), (e)	7Q6M	via	K6ZO (L)
5H2JK	via	DL8AAI (B)	7R19MG	via	(d), (e)
5H3FM	via	HB9DSP (B), (L)	7R7A	via	7X2VFK (d)



7S1GRK	via	SK1BL (B, automatisch)	A71FIFA	via	A71A (B), (L)
7S7SOP	via	SM7RYR (nur (L))	A72FIFA	via	QARS-Bureau, (L)
7T60A	via	7X2DD (d)	A73FIFA	via	A71A (B), (L)
7U7C	via	(d)	A74FIFA	via	QARS-Bureau, (L)
7X2GK	via	IK2DUW (d), (L)	A75FIFA	via	A71A (B), (L)
7X2VFK	via	7X2DD (d)	A75GC	via	RW3RN (B)
7Y19MG	via	(d), (e)	A76FIFA	via	QARS-Bureau, (L)
7Z1VD	via	EA5GL (B), (L)	A77FIFA	via	QARS-Bureau, (L)
7Z92ND	via	HZ1SAR (d)	A78FIFA	via	QARS-Bureau, (L)
8A64BALI	via	YH9AA (d), (e)	A72FWC	via	A71A (B), (L), (e)
8J1H9ØT	via	JARL-Bureau, (L), (e)	A71XX	via	EC6DX (d), (L)
8J3S	via	JK3IJQ (B)	A91ARS	via	EC6DX (d), (L)
8N2TY	via	JARL-Bureau, (L), (e)	A91FTDMC	via	EC6DX (d), (L)
8P6ET	via	KU9C (d), (L)	A91ND	via	EC6DX (d), (L)
8P9CB	via	WA7RAR (d), (L)	A91OMA	via	EC6DX (d), (L)
8P9NF	via	EA4NF (L)	A44A	via	A47RS (B), (L)
8S0C	via	SM0MPV (B), (L)	AHØ/WA7WJR	via	WA7WJR (d), (L)
8S80AA	via	SK5AA (OQRS)	AH2/WA7WJR	via	WA7WJR (d), (L)
8S9J	via	SM5TOG (nur (L))	AM100RCE	via	EA4URE
8Q7AG	via	IZ2DPX (B), (L)	AM23ØCW	via	EA2CW (L), (e)
8Q7QE	via	EA5Q (B), (L)	AM30FEDIEA	via	EA3RKF (d), (e)
8Q7TD	via	IK1TDD (B), (L)	AM33ØHLM	via	EA3HLM (nur L & (e)
8Z92ND	via	HZ1SAR (d)	AM33ØRKM	via	EA3RKM (L), (e)
9A/DL7MDX	via	DL7MDX (B), (L)	AM38SDC	via	EA1AUM (B), (L), (e)
9A/F5SNJ	via	F5SNJ (nur (L))	AM4ØRCH	via	EA3RCH (B), (L), (e)
9A/W8FNG	via	W8FNG (d), (L)	AM5ØØPCM	via	EA7URF (B), (L), (e)
9A/S50IPA	via	S50IPA	AM630VQ	via	EA6VQ (B), (L)
9A/SQ9CNN	via	SP9FIH (B), (L)	AO1ØDRI	via	EA7AMB (B), (e)
9A/W3WM	via	W3WM (d), (L)	AP2KN	via	F6BFH (B), (*)
9A1WFF/p	via	9A2MF (B)	AP2TN	via	N4BAA (World),
9AØ22ICM	via	9A6KX (d), (L), (e)			RW6HS (Russia, d), (L)
9A22YOTA	via	9A1A (B), (L)	AP75HA	via	AP2HA (L)
9A24ZRF	via	9A7ALZ (B), (L)	AP75HAS	via	VU2SMS (d)
9A5Y	via	9A7W (B), (L)	AP75SD	via	EA5ZD (B: nur Mail), (e)
9A8GHJ/p	via	OE7GHJ (B)	AT18BSG	via	VU2NRO
9H/IV3CTS	via	YT4RA (L), (e)	AU2JCB	via	VU2DSI (d), (e)
9H6LH	via	DL1KJ (B)	AU2SOA	via	(L), (e)
9H6QE	via	9H1MRC (d)	AU75JRO	via	VU2JRO (d), (L), (e)
9J2SEU	via	OE3SEU (L)	AU75SMS	via	VU2SMS (d), (L)
9K2OW	via	EC6DX (d), (L)	AP75TN	via	RW6HS (d)
9K9KSA	via	EC6DX (d), (L)	AZ1D	via	LU1DX
9M100SK	via	9W2TXL (d)	BP0A	via	BV2KS
9M2MRS	via	PAØRRS (B), (L)	BW/DJ4JB	via	DJ4JB (B)
9M59SD	via	9W8KIF (d)	BX0QL	via	BM2JCC, (e)
9M6NA	via	JE1JKL (B), (L)	C37N	via	C37URA (B), (L)
9N7AA	via	S57DX (d), (L)	C6ADX	via	W8GEX (L)
9V1ZV	via	EA5GL (B), (L), (e)	C6AGU	via	HA7RY (L), (e)
9X5GG	via	F6BFH (B), (*)	C6AQ	via	EA5GL (B), (L), (e)
A35JP/p	via	JA0RQV (B), (L)	C6AYL	via	W8CAA (L)
A43KSA	via	EC6DX (d), (L)	C7A	via	UA3DX (B)
A43UAE	via	A47RS (B), (L), (e)	C91CCY	via	K3IRV (B)
A6ØA	via	EA7FTR (d), (L)	CB3W	via	XQ4CW
A6ØBHR	via	EA7FTR (d)	CB4A	via	CE4UFC
A60FIFA/2	via	EA7FTR	CE3/CE0YHF	via	CE0YHF (d), (L)
A65/DL2RMC	via	DL2RMC (B), (L)	CN22JIM	via	RW6HS (d)
A65DR	via	N4GNR (d), (L)	CN23NIL	via	RW6HS (d)
A61ZX	via	IZ8CLM (B), (L), (e)	CN23NOA	via	CN8NOA
A62A	via	EA7FTR und (L)	CO7VI	via	IK2DUW (d) und (L)
A71AU	via	F6BFH (B), (*)	CQ3J	via	CT3MD and (L)



CQ7WRTC	via	CT1ILT, (L)	DN2MR	via	DD7MR (B)
CQ9T	via	CT3KN	DN3TD	via	DL3TD (B)
CR2X	via	OH2BH (B)	DP0POL	via	DL5EBE (B)
CR3SI	via	CT1DSV (B)	DP5N	via	DJ0ACA
CR3Y	via	OM2FY	DQ8FTDMC	via	DM2RM
CR6K	via	CT1ILT (O), (d), (L)	DR0W	via	DJ5MW
CS2C	via	OK1RF	DR1ØØRY	via	DF2SD (B), (L), (e)
CS7/DO1HKH	via	DO1HKH	DR100XRAY	via	DJ6SI (Bureau)
CT7/DL6IAK	via	DL6IAK (B)	DR15ØMM	via	(B), (e)
CT9ABO	via	OM3GI (d), (L)	DR3K	via	DG1YKW (B)
CT9ABV	via	DL5AXX, (L)	DR4A	via	DJ9KM (B), (L)
CW3A	via	EA5GL (d), (L)	DR45HAAN	via	DO9MP (B), (O)
CW5X	via	CX2ABC (d)	DU1/PG5V	via	PG5V (d), (B), (L)
CX1ØØB	via	CX1AA (B), (L)	DU3/W6QT	via	W6QT (B), (L), (e)
CX3AT	via	EA5GL (B), (L), (e)	DU7/N7ET	via	N7ET (B), (L)
CX5A	via	CX2ABC (B), (L), (e)	DV8/KH7EA	via	SP3SUX (B)
D2TX	via	PA3CMC (L)	DX8H		(d)
D44BM	via	IW2KVT (B)	E2WRTC	via	E21EIC (B), (L)
D44PM	via	IZ4DPV (d), (B), (L)	E7/9A3DF	via	9A3DF
D44TWO	via	MØOXO (B OQRS), (L)	E7HQ	via	E70ARA, (L)
D4L	via	IK2NCJ (B), (L)	E77DX	via	E73Y (B), (L)
D4Z	via	IK2NCJ (B)	EA3/PD2SD	via	PD2SD
D6ØAE	via	F5GSJ (B), (L)	EA3ATO	via	EA3RCI (B), (e)
D73G	via	HL4CCM (B), (L), (e)	EA6/DL2JRM	via	DL2JRM (B)
DA0HQ	via	DL5AXX	EA9KB	via	EA7FTR
DA0RR	via	DJ5BWD	ED1R	via	EC1KR (B), (L), (e)
DAØT	via	DL7AT (B), (L)	ED2C	via	EA2RCF (B)
DA2LGS	via	DL7ACN (B)	ED2FSF	via	EA2CYC (E-Mail)
DA2W	via	ON3UN (B)	ED5HFD	via	EA5HFD (B)
DB100RDF	via	DO2PZ	ED7O	via	EA7EU (d)
DFØCOC	via	DL4PY (B)	EE44C	via	EC5WR (d), (L), (e)
DFØSAX	via	DL3DXX (B), (L)	EF0F	via	EA4URE (B), (L)
DK05ØBN	via	DK5PD (B), (L), (e)	EF1A	via	EA1X (B), (L)
DK0AJ	via	DH4FE	EF6T	via	EA3AIR
DK0DFF	via	DL7AFS (B)	EG1NMP	via	EB1CU (L), (e)
DK0DI	via	DH7ZP (B)	EG5DSI	via	EA5RKS (nur L & (e))
DK0GYB	via	DK2AJ (B), (e)	EG80NT	via	EA1RCI
DK0SM	via	DL6OCH	EH23HNY	via	EA5URV (B), (e)
DK5T/LH	via	DK5ON (d), (B), (L)	EH3HNY	via	EB3JT nur (L) & (e)
DK70BAD	via	DK2BK (B)	EH5FPM	via	EA5JDN and (L)
DL0AGU	via	DL1RNT (B)	EH5HNY	via	EA5ZD (B)
DL0AH	via	DG5YHE	EI/DJ1WI	via	DJ1WI
DL0GEO	via	DL2YAK (B), (L), (e)	EK/RX3DPK	via	RX3DPK (L)
DL0JBB	via	DL6YAO (B), (e)	EXØET	via	DU7ET (d)
DL0NOT	via	DL1ZAV (B)	FG/F5HRY	via	F5HRY (B), (L)
DLØROS	via	DL8MEW (B), (e)	FG/F6HMQ	via	F6HMQ (B)
DL164ØY	via	DL3CQ (B), (e)	FH/OK1M	via	OK1WMR
DL2ØSOTA/p	via	DL6GCA	FJ4WEB	via	K2LIO (d), (e)
DL22PEACE	via	DF8RJ (B)	FK8GX	via	F5MFV (d)
DL25KYF	via	DM2HEY (OQRS via (C) > No QSL needed)	FM/F6BWJ	via	F6BWJ (B), (L)
DLØØDAH	via	DL2MDU (B), (L)	FM5BH	via	W3HNK (d), (L)
DLØØLINDAU	via	DL1CBQ (B)	FT8WW	via	F6EXV (O), (L)
DL/HB9BCK/p	via	HB9BCK (B), (L), eQSL	FY/F4GPK	via	F4GPK (nur (e))
DL/HB9BIN/p	via	HB9BIN (B), (L)	FY5KE	via	FY1FL (d), (L)
DL/HB9CBR/p	via	HB9CBR (nur (L))	G1A	via	MØNKR (B), (L), eQSL
DMØY	via	DL3BQA (B)	G3M	via	G4PEO (B)
DM20OTUS	via	DJ8NU (B)	G5XV	via	MØOXO ((O)), (L)
DM6ØUEA	via	DL3BUA (B, autom.)	G8T	via	GW4SHF (B)
			G8X	via	G4FJK (d), (L)



GB0KWD	via	nur LoTW	HG1222BA	via	HA4KYB
GBØNFL	via	MØLMK (nur (e))	HG4I	via	HA5LN
GB13COL	via	GØVLF (d)	HG5A	via	HA5KDQ (B), (L), (e)
GB1CSR	via	MØOLT (B), (e)	HH18NOV	via	N2OO (B)
GB2HMM	via	GW4TTA (B)	HH2AA	via	EB7DX (L), (d)
GB2KW	via	nur LoTW	HH75RCH	via	N2OO (B)
GB5KW	via	nur LoTW	HI8CW	via	EB7DX (d)
GB5GYD	via	MØCQL ((e))	HI8J	via	RW6HS (d), (L)
GB5KWD	via	nur LoTW	HI9/IK2KTE	via	IK2KTE
GB5TP	via	MM0DFV	HL77V	via	6KØMF (B)
GB6OUS	via	MØOXO (B-(O)), (L)	HLØ9NWPF	via	HL5BJU (B), (L), (e)
GB8KW	via	nur LoTW	HP1/EA5XV	via	EA5XV (B)
GD2NV	via	G2NV (nur (e))	HR9/K6VHF	via	K6VHF (B), (L), (e)
GJ2A	via	MJ0ASP (d), (L)	HQ9X	via	KQ1F (B), (L)
GM2T	via	(B)	HR5/F2JD	via	F6AJA (B), (L)
GM4Z	via	GM4ZUK (B), (L)	HSØZBS	via	OE2REL (HS-Büro), (e)
GM6DX	via	MØOXO (B-(O)), (L)	HSØZPU	via	F5LIT (d), (L)
GQ4ATA	via	GM4ATA nur (L)	HVØA	via	IKØFVC (d), (L)
GS5DX	via	EB7DX and (d), (L)	HZ1BHR	via	HZ1SAR (d)
GS8VL	via	M0OXO ((O)), (L)	HZ1CY	via	A61BK (d), (L)
GUØVJG/p	via	GØVJG (B)	HZ1CPCF	via	HZ1SAR
GX1FCW		nur (e)	HZ1UAE	via	HZ1SAR (d)
GX3WIM	via	G8MNY (L), (e)	HZ92ND	via	HZ1SAR (d)
GX5BBC	via	G4HPE (B), (e)	I/HB9BIN/p	via	HB9BIN (B), (L)
GX5DX	via	EB7DX (d)	IC8/IK6CAC	via	IK6CAC (L), (e)
GX6ZME/p	via	G3ZME (B)	IC8/KL1A	via	OE1ZZZ (d)
H25A	via	LZ3SM (B), (L)	ID9Y	via	IK8YFU (d), (L), (e)
H44MS	via	DL2GAC (B), (L)	IF9A	via	IT9ATF (B), (L)
H44SHD	via	HB9SHD (B), (e)	IG9/S59A	via	S59A (B)
HA36EUDXF	via	HA5MA (B), (L)	II1MM	via	IK1VHX (e)
HA5SPORT	via	HA-(B)	II2FTDM	via	IK2EKO
HBØ/DJ1AA/m	via	DJ1AA (B), (e)	II4TRN	via	IQ4FE (B)
HBØ/DL2JRM	via	DL2JRM (B)	II5RM	via	IK5WOB (B)
HBØ/HB9DQM	via	HB9DQM (B), (L)	II7ML	via	IQ7ML (e)
HBØ/OE9HRV	via	OE9HRV (B)	IK1TNU/IA5	via	IK1TNU
HBØ/PA3CNO	via	PE1FLO	IK2LEY/ISØ	via	IK2LEY
HB175RAIL	via	(L)	I6/ON5XX/P	via	ON5XX nur (L)
HB5ØSH	nur	(L) & (e)	I6/OT1V	via	ON8VM (B), (L), (e)
HB75SG/p	via	HB9KNY (B), (L)	IL7/IK5AEQ	via	IK5AEQ (B), (L), (e)
HB9/KB1OTE	via	KB1OTE	IL7/IZ5IUY	via	IZ5IUY (auch (e))
HB9SPACE	via	HB9ACA	IM0A	via	IS0BSR ((L) only)
HC5JHT	via	(L)	IM0B		nur (L)
HD1HERO		nur (L)	IN3/DL7CX/p	via	DL7CX (B), (L)
HF0ROSA	via	SP7X (L), (e)	IN3/HB9BXQ	via	HB9BXQ (B)
HF1ØØL	via	SP9KDR (B)	IP1X	via	IU1JCZ (B)
HF1922PS	via	SP9KJU (B), (e)	IP6POPE	via	IZ6BRJ
HF1Z	via	SP1EG (B), (L)	IQØAK	via	ISØJXO (B), (e)
HF2ØLVK	via	SP4LVK (B), (e)	IQ1SV	via	IZ1JIZ
HF30STB	via	SP9SCI (B)	IQ3DD	via	IZ3NWT (Bureau)
HF3ØPSP	via	SP9PSJ (B)	IR1DCI/5	via	IK1GPG (B), (L)
HF7SIEMA	via	(Download), (e)	IR1DCI/8	via	IK1GPG (B), (L)
HF77DIORA	via	SP3PDO (B)	IR9K	via	(B), (L)
HF800M	via	SP9PKS (B)	ISØ/DJ2TG/p	via	DJ2TG (L), (e)
HF9FIELD	via	SN9PJ (nur (e))	J2ØEE	via	F4DXW (d), (L), (e)
HF95PRK	via	SP9KJU	J28HJ		(L)
HG0IDPD	via	HA5MA (d), OQRS (C); keine QSL benötigt	J28JD	via	EA5GL (B), (L)
HGØWFF	via	HAØHW (B-(O)), (L)	J28MD	via	IK2VUC (B)
HG1Z	via	HA1XY (B)	J3/N9GB	via	N9GB
			J43POTA	via	SV3SPD (L), (e)



J5GQA	via	CT2GQA (B), (e)	M4T	via	MØBEW (nur eQSL)
JD1AJD	via	JA1ADT (B), (L)	M7W	via	G3TBK
JW/KA1IS	via	KA1IS (B)	M7Z	via	G4BWP and LoTW
JWØA	via	K4NHW (B), (L)	M8A	via	M0HDF and LoTW
JW7QIA	via	LA7QIA (B), (L)	MC7DX	via	G4DIY (nur LoTW)
JW7XK	via	LA7XK (B), (L), (e)	MD7C	via	MØOXO (B-(O)), (L)
JX/LB4MI	via	LB4MI (B), (L), (e)	MM1E	via	(L) (kein Bureau)
K4C/75	via	N4JR (B)	MN5A	via	G3TXF (B), (L)
K4WK/VE3	via	K4WK	MS0ORK	via	MM5DWW (d)
KH6/ND0B	via	ND0B (d), (L)	MQ0PAM	via	MØPAM (d), (L), (e)
KH6ND/W7	via	KH6ND (L)	NØC	via	WØUY (d), (L)
K5A	via	K5DB (d), (L)	N1N	via	K6ZO (L)
K8H	via	W7YAQ (L)	N5W	via	K5GN
KC4AAC	via	K7MT (d), (L)	NL8F	via	N7RO (d), (L)
KH7X/W7	via	KH7X (L), (e)	OD5ZZ	via	N4GNR (d), (L)
KL7/K3Y	via	K3Y (d)	OE05FTDMC	via	OE1SGU (L), (e)
KL7J	via	N3SL (B), (L)	OE25MFCA	via	OE6XMF (B)
KP2/KB5RF	via	KB5RF (nur (L)	OE0FTDMC	via	OE6VIE (B-(O)), (L)
KP2B	via	EB7DX (d), (L)	OE0HQ	via	OE3KAB (L)
KP4/E77DX	via	E73Y (B), (L)	OE25TU	via	OE-Bureau
KP4/KCØBLK	via	KCØBLK (d), (L), (e)	OE3DIA	via	OE1DIA (d), (e)
KT3Q	via	DF8DX (B), (L)	OE5D	via	OE2UKL (B), (e)
L2ØD	via	LU3DXG (L), (e)	OE6ØSTMK	via	OE6WIG (B)
L50DY	via	LU8DY (L), (e)	OE7ØFI	via	OE5FSL (B)
L60CBA	via	LU5CBA	OF9X	via	OH2BH (B)
LA/PE1ITR	via	PE1ITR (B), (L)	OG7F	via	OH5AD (B), (L)
LA/SP7VC	via	SP7VC (d), (e)	OH0CO	via	SM6CCO (d), (L)
LA/ON4ROB/P	via	ON4ROB	OH1XMAS	via	OH-Bureau
LB5SH/p	via	LB5SH (B), (L)	OJ0DX	via	DL3DXX (O), (L)
LC1R	via	LB5SH (B), (L)	OJ0JR	via	OH3JR (B), (L)
LC5C	via	LA6KOA (B)	OJ0MR	via	OG2M (d)
LP1A	via	EA7FTR (L)	OK/SQ9MDF/p	via	SQ9MDF (B)
LV1E	via	LW6EQG (B), (L), (e)	OK5D	via	OK1DTP (B), (L)
LW2DO	via	EC6DX (d)	OK5M	via	OK5MM (B)
LX/PA3FQX	via	PA3FQX	OK5Z	via	OK2ZI, (L)
LX4HNY	via	LX1JH (B autom.), (e)	OK8CX/p	via	DL7CX (B), (L)
LY7ØØVNL	via	LY4Q (B)	OK8MA/p	via	SP9MA (B)
LY770CT	via	LY1CT and (L)	OL1T	via	OK6DJ (B), (L), (e)
LY786A	via	LY5A (B)	OL15SOTA	via	OK1CYC (B), (L)
LZ/OP4L	via	ON4LDK (d), (B)	OL3Y	via	OK1CRM (B), (L)
LZ/SQ2M	via	SQ2M	OL5GMA/p	via	OK3EQ (B), (L), eQSL
LZ0KP	via	SV2CLJ (d), (L)	OMØR	via	OM3GI (d), (L)
LZ1Ø5IN	via	LZ1ZF (B)	ON/SP7THC	via	SP7THC (d)
LZ1GLASS	via	LZ1KAK (B)	ON37IOF	via	ON7QC (B)
LZ258ML	via	LZ1KCP (B), (L)	OO22FLY	via	nur ON-Bureau
LZ2K	via	LZ4AE	OO36EUDXF	via	ON6CC (B), (L)
LZ25MIG	via	LZ1ZF (B)	OO7Z/p	via	ON6KZ (B), (e)
LZ31ZE	via	LZ1KCP (B), (L)	OP4K	via	ON4JZ and (L)
LZ319TS	via	LZ1KCP	OP9T	via	ON5CT, (L)
LZ4A	via	LZ1YQ (d)	OQ4U	via	ON4AMX (B), (L)
LZ457PP	via	LZ1KCP (B), (L)	OQ5M	via	ON5ZO (L), (e)
LZ540DS	via	LZ1KCP (B), (L)	OQ95RCL	via	ON3AR
LZ5G	via	LZ5ET (B)	ORØA	via	ON6ZK (B)
LZ6E	via	LZ1GU (B)	OR1ØØRCBE	via	ON4GDV (B), (e)
LZ6T	via	LZ2JA	OR1ØØHERZ	via	ON-Bureau
M/LY4L	via	LY4L (L)	OR1Z/p	via	ON6IX (d), (e)
M2J	via	G4NBS (nur (L))	OR7ØFI	via	OR4K (B)
M3E	via	G4CWH (B)	OR7G/p	via	ON7VG (auch (e))
M4J	via	GØDVJ (nur L & eQSL)	OR78CLM	via	ON6HC (B)



OR8W	via	ON4BDV	PP2/DL3SEZ	via	DL3SEZ (B)
OS5Z	via	ON5CAZ (B)	PQ3G	via	PY3OZ
OT4A	via	ON4AEK (L), (e)	PR1T	via	PY1ZV (nur (L))
OT4N	via	ON4CN (B), (e)	PR2R	via	PY2ERA (d), (B), (L)
OT5IDPD	via	ON6WL (B), (L)	PT4Z	via	PY4JW (d)
OT5Q	via	ON4KNP (B), (L)	PT5C	via	PY5HC (B), (L), (e)
OT6E	via	ON6QS (L), (e)	PT5J	via	PP5JR und (L)
OT9K/p	via	ON9KAT (B)	PT6B	via	PY6HD (d), (L)
OU5K	via	OZ1BEF (d)	PV2ØØBR	via	PY2KP (B), (L), (e)
OV2T	via	PAØABM (B), (L)	PV2K	via	EA5GL (B), (L)
OV3T	via	OZ4XL, nur (L)	PW2IND	via	PP5AA (B), (e)
OV5W	via	OZ1GIN	PX2A	via	PY2VM (d), (L)
OX7AM	via	OZ1ACB ((O)), (L)	R1941MB	via	R2DX (B), (L), (e)
OY7EE	via	OZ2I (B)	R2022DX	via	RQ7L
OZ/DJ1AA	via	DJ1AA	R2Ø23NY	via	RQ7L
OZ50DDXG	via	OZ1ACB (O), (L)	R245GC	via	RW1QN (B), (L), (e)
OZ5W	via	OZ7QC, (L)	R50RCR	via	RV3VR
P29LL	via	EA7FTR (d)	R8ØURAN	via	UA4AJD (B)
P29RO	via	DL4SVA (B), (L)	R7ØØSSR	via	RØSI
P3AA	via	RW3RN (d), (B)	R9ØØDM	via	RC1C (d), (L)
P3X	via	UT5UDX (L), (e)	R9ØØRO	via	RT1L (B)
P4/DL4MM	via	DL4MM (B), (L)	R2RA	via	RN3RQ (B)
P4ØAA	via	DL4MM (B), (L)	RA/DL5EBE	via	DL5EBE (B)
P4ØL	via	WA3FRP (B), (L)	RI41POL	via	RN3RQ (B)
P44W	via	N2MM (d), (L)	S21SM	via	OH6EAC (d) und (L)
P49X	via	W0YK (d), (L)	S50HQ	via	S54G (B), (L)
P4/DDØVR	via	DDØVR (B)	S79/DL2SBY	via	DL2SBY (d), (L)
PA/DH1NBE	via	DH1NBE (B)	S79/RM8A	via	RM8A (direct)
PA/SP1MVG/p	via	SP1MVG	SB6A	via	SA6AOA (nur (L))
PA1VS	via	DE7VSH (B), (L), (e)	SDØW	via	SMØFPR (nur LoTW)
PA22VUELTA	via	PI4UTR	SD6F	via	SM6JWR (B), (L)
PA3ØSPARC	via	PE5ENJ (B)	SF6F	via	SA6FOL (nur (L))
PA5DX	via	IZ8CLM (B), (L), eQSL	SI3A	via	SM3LIV (B), (L), (e)
PA6ØCUBA	via	PA1FZH	SK75BL	via	SK1BL (B, automatisch)
PA6ØEHSB	via	PA5ABW (B)	SM/OH2NOS/p	via	OH2NOS
PA6ØNN	via	PC4C (B), (L)	SM2M	via	SM2LIY (B), (L), (e)
PA75DXCC	via	PA0ABM (O), (L)	SN15ØBRAIL	via	SP2PBY (B)
PA9ØØUTR	via	PI4UTR	SN2ØØO	via	SP2PGD (B,
PC2ØSAIL	via	PAØRDY (B)	SN2ØØW	via	automatisch)
PD36EUDXF	via	PA1AW (B), (L)	SN2M	via	SP2XF (d), (B), (L)
PE36EUDXF	via	PA1AW (B), (L)	SN500GM	via	SP5PMU (B)
PF01MAX	via	PC2F and (L)	SN5N	via	SP5KP (d), (L)
PF36EUDXF	via	PA1AW (B), (L)	SN6J	via	SP6FHU (B)
PF44F	via	(L) (kein Papier)	SN89LOT	via	SP1PMY (B)
PF6SKCC	via	PG4I	SN8K	via	SQ8ERS (B), (L)
PF6ØPENM	via	PF9W (B), (L)	SN65PLU	via	(B)
PGØØT	via	PA2TMS (B), (e)	SN95PRK	via	SQ9FMU (B)
PG6PEACE	via	PG5FRL, (L)	SOØKBW	via	SP3PDO (B)
PI4COM	via	PA1AW and (L)	SO95PRK	via	SP9WZO
PI4DX	via	PD1DX (d), (B), (L)	SP65PLU	via	(B)
PI4NTC	via	PG4I	SP77DIORA	via	SP6PZB (B)
PI4RCA/p	via	PA4T (B)	SP9ØENG	via	SP3PDO (B)
PI75ØGAZ	via	PA-(B)	SP9ØENIGMA	via	SP3PGR (B)
PJ2/DK5ON	via	DK5ON (d), (B), (L), (C)	SP95PRK	via	SP9PNB (B)
PJ2/DDØVR	via	DDØVR (B)	SQ65PLU	via	(B)
PJ2ND	via	K8ND (d) (L)	SQ75ZOT	via	SP1EG
PJ4/DDØVR	via	DDØVR (B)	SQ95PRK	via	(B)
PJ4/K4BAI	via	K4BAI			
PJ7/G4JEC	via	NØUK (B), (L)			



ST2SA	via	F6BFH (B), (*)	TM2ØØLP	via	F8GGZ (B)
SU8X	via	OH2BH (B)	TM22CAD	via	F1LPT ((e) only)
SV9/SX338M	via	SX338M nur (L) & (e)	TM2ALMA	via	F5PTA (d), (e)
SX1ØØMRH	via	SZ2RWM (d), (e)	TM2D	via	F5KHP (e)
SX14ASTRO	via	SZ1A (B), (L), (e)	TM2LD	via	F4GQP (B)
SX2IMA	via	SV2JAO (d), (e)	TM34SCRP	via	F5JBU (d), (B)
SX22HAF	via	SV1AHH (nur L & (e)	TM35FIST	via	F6JOE (d), (B)
SX338M		nur (L), (e)	TM36EUDX	via	PA1AW (B), (L)
SX39J	via	SV2GWY (d), (L), (e)	TM3CNR	via	F5PTA nur (e)
SX44JM	via	SV1AHH (L), (e)	TM3GGR	via	F6KUF (B); F5OEV (d)
SX8AEG	via	SV8MQP (B), (e)	TM3Z	via	F4DSK (B)
SZ1KVDD	via	SV1ENG (B), (L)	TM400MO	via	F4DTO (B)
T88AQ	via	JH6WDG (L)	TM5ØARML	via	F4ILK (B), (e)
T88DK	via	JH3LSS (d), (L)	TM50FIBD	via	F5PTI and LoTW
T88DN	via	JA3HJI	TM50KGI	via	F4HSQ
T88ED	via	JA3IVU (d), (L)	TM50SC	via	F6PCT
T88EF	via	JA3ARJ (B)	TM50VAR	via	F4GPB (d), (B)
T88MB	via	JA3AVO (d), (L)	TM55TDL	via	F4IVC (d), (e)
T88PB	via	JAØJHQ (d), (L)	TM5CO	via	F5OIJ (d), eQSL
T88RC	via	JH1FFW (B), (L), (e)	TM5TD	via	F6KMB
T88RH	via	JR6DRH (B)	TM55NSM	via	F4GPB (B), (e)
T88SM	via	JA6EGL (d)	TM59TDF	via	F8KGS
TA3J/0	via	TA3J (B), (L)	TM62YT	via	F4GYG (e)
TA4/OH2KW	via	OH2KW (B), (L)	TM65M	via	F5RAB
TA4/SQ9UM	via	SQ9UM (d), (L), (e)	TM72LMC	via	F1IEH (L)
TC1ØØ	via	TA-Bureau	TM72WOW	via	F1IEH (d)
TC1ØØTA	via	TA-Bureau	TM74CHX	via	F4IRT (B), (L), (e)
TC1ØØTR	via	TA-Bureau	TM78DP	via	F4GPB (B), (e)
TC1ØØYEAR	via	TA-Bureau	TM8AB	via	F4KJQ
TC29EKM	via	(e)	TM8GE	via	F6KFI (B)
TC7G	via	YM7KK (d), (L)	TM8R	via	F5BNJ (B), (L)
TF/DL2JRM	via	DL2JRM (B)	TM80NT	via	F8GGZ
TG9ADM	via	EA5GL (B), (L)	TM90GF	via	F4KLR (B), (e)
TI1FIFA	via	(d), (L)	TM100UNOR	via	REF-Bureau
TI2VLM	via	EA5ZD (d), (L)	TO2DL	via	DL7DF (O), (L)
TI5/N3KS	via	M0URX (O) und (L)	TO5A	via	F5VHJ (B), (L)
TI7/HB9BHU	via	HB9BHU	TO9W	via	W9ILY (O), (L)
TI7/VE3BW	via	VE3BW (L)	TR8CR	via	F6AJA (B)
TK/S53WW	via	S53WW, (L)	TT8SN	via	F8FQX
TK/S57L	via	S57L, (L)	TX7G	via	F6BCW (B,automatisch)
TK/S57VW	via	S57VW	TY0RU	via	R7AL (O), (L)
TK/DL2JRM	via	DL2JRM (B)	TY5AF	via	(O), (L)
TK0C	via	S50C (d), (B), (L), (e)	TZ4AM	via	KX4R (d), (L)
TMØW	via	F2CT (L), (e)	UE23NY	via	RQ7L
TM1MLB	via	F4KMI (B), ((e))	UE32DX	via	RQ7L
TM1SOTA	via	nur (e)	UE8ØML	via	RQ7L (L), eQSL
TM1ØKIY	via	F4KIY (B), (L), (e)	UG5F	via	RW3DSR (d), (L), (e)
TM5ØKGI	via	F6KGI (B)	UR5FSP/mm	via	UR5FSP (d), (L)
TM109TDF	via	F8GGZ	V26K	via	AA3B (B), (L), (e)
TM1ØØBBC	via	F8GGZ (B)	V26OC	via	N3OC (d), (L)
TM1ØØCARD	via	F5PTI (B), (L), (e)	V31TX	via	DJ5QW (B)
TM1ØØDOR		nur (L) & eQSL	V31XX	via	K4XS (d)
TM100UNOR	via	F8KHG (B)	V4/NT5V	via	NT5V (B), (L)
TM1Ø5BDC	via	F8KGN (B)	V47FWX	via	MØURX (O), (L)
TM11SRY	via	F5KCC	V48A	via	WX4G (B), (L), (e)
TM13COL	via	F5OGL (L)	V48DM	via	N4GNR (B), (L)
TM17FFF	via	F4GFE	V5/HB9BFM	via	HB9BFM (B), (L)
TM17MGF	via	F5KLJ (B)	V5/ZS1WO	via	DH3WO (B)
TM1SSOU	via	F6KGL	V51LZ	via	EA5GL (B), (L), (e)



V73MS	via	WV7MS (d), (L)	YB0AR	via	EB7DX (d) und (L)
V85/F5NPV	via	F5NPV (L), (e)	YBØECT	via	W2FB (d), (L)
V85NPV	via	nur (e) & (L)	YB8QT	via	IK2DUW (d), (L)
VB4LIGMA	via	A4BEN	YH0R		(B), (L), (e)
VE2PEACE	via	VE2JCW (d)	YJØAUS	via	F6BFH (B), (*)
VE3KTB/VY0	via	M0OXO (O), (L)	YJØCA	via	VK2YUS (d)
VG5DX	via	VA5DX (d)	YJØDA	via	VK4MAP (d)
VJ2J	via	VK2CZ (d)	YK1AA	via	F6BFH (B), (*)
VJ3A	via	VK3JA and (L)	YO3IMD	via	YO3KPA (B), (L)
VJ4K	via	N3SL (B), (L), (e)	YO8/LZ4UU	via	LZ4UU (B), (e)
VJ4T	via	VK4QH (L), (e)	YP8XMAS	via	YO2MSB (B), (e)
VL2B	via	VK2BJ ((L) only)	YR1400VT	via	YO6KGS (e)
VL2G	via	VK2GR ((L) only)	YR12ØØVT	via	(e) oder qrz.com
VL2N	via	VK2PN ((L))	YR2X	via	YO2LEA (B), (e)
VL3E	via	VK3TZ and (L)	YS1RR	via	F6BFH (B), (*)
VL6C	via	VK6IR (O) und (L)	YS3CW	via	I2JIN (d), (L)
VP2V/N2TSR	via	N2TSR	YR6MUSEUM	via	YO6KNE (B), (L)
VP2ETE	via	W3HNK, (L)	YU/OK1ARI/p	via	OK1ARI (auch (e))
VP2MDX	via	W2APF (B), (L)	Z21LS	via	DE1ZHB (B), 7Z1HB (d)
VP2MJA	via	VE3WB	Z6/KN4PRE	via	KN4PRE (auch eQSL)
VP8TAA/p	via	MØOXO (B- (O)), (L)	Z66BCC	via	DL2JRM (B)
VP9/N8QNT	via	N8QNT (B)	Z68EE	via	OZ2I (B), (L)
VP9/SP9FIH	via	SP9FIH	Z66X	via	OH2BH (B), (L)
VP9IN	via	EC6DX (d)	Z68XX	via	DL2JRM (B)
VKØWN	via	VK7WN (B), (L)	ZA/OE6TQG	via	OE6TQG and (e)
VK36EUDXF	via	VK2WN, (L), (e)	ZA/OE8NDR	via	DE1QSL
VK5X	via	VK5XDX ((L))	ZA/SQ9MDF/p	via	SQ9MDF (B)
VK6T	via	EA7FTR (d), (L)	ZF1A	via	K7ZO (O), (L), (d), (B)
VK75FAA	via	VK2YVA (B)	ZF1A	via	K7ZO (B), (L)
VK8NSB	via	M0URX (O) und (L)	ZF2IT		nur (L)
VK9C	via	EB7DX (d), (L), (e)	ZF2MJ	via	N6MJ and (L)
VK9CM	via	EB7DX (d), (L), (e)	ZF2RX	via	KC1KUG
VK9DX	via	VK2DX (d), (L)	ZL1X	via	ZL1BVA (e)
VK9MTO	via	ZL1MTO (d \$5 PayPal), (L)	ZL4/VE6TC	via	VE6TC (L), (e)
VK9XX	via	EB7DX (d), (L)	ZL7/K5WE	via	K5WE (d), (L)
VK90ABC	via	VK1RAS (L), (e) only	ZL7/ZL1VV		(L)
VX2I	via	F5JYD (B), (d), (L)	ZP4/PY5ZUE	via	DL7UE (L)
VR25RC	via	VR2RC	ZV2X	via	PY2YVN
VR25XMT	via	VR2XMT (d), (L)	ZV7W	via	PT7ZT (nur LoTW)
VP2MDX	via	W2APF (B), (L)	ZV8C	via	PQ8SL (d), (L)
VP5Y	via	VE3RZ	ZW2ØØESQ	via	PY1JR (B)
VP8TAA	via	M0OXO (O), (L)	ZW2A	via	PY2SGL (d), (B), (L)
WØ /VK3BDL	via	VK3BDL	ZW7I	via	PY7WM (B), (L)
W2/JR1AQN	via	JR1AQN (B), (L), (e)	ZX8F	via	PS8RV (B), (L)
W7/KH7X	via	KH7X (d), (B)	ZY0FUN	via	PY2RN ((O)), (L)
W8W	via	W8KVK (d), (e)	ZZ1S	via	PY1IO (d), (LO)
XE1HG	via	EA5GL (d), (L)	ZZ2OO	via	(B), (L)
XE3E	via	EA5ZD (d), (L)	ZZ4A	via	PX4DX (d), (L)
XF1S	via	IT9EJW (B)			
XIØX	via	XE1KK (nur (L))			
XM3A	via	VE3NOO (B), (e)	(d) = direkt		(B) = Büro ok
XP3A	via	PA3249 (d), (L), (e)	(L) = (L)		(O) = (OQRS-B)
XT2AW	via	M0OXO (O) und (L)	(C) = ClubLog		(e) = (e)
XV9BPO	via	EA5GL und (L)	(*) = neuer Manager		(Q) = QRZ.COM
XV9SB	via	WB4SAB (d)	H/c = Homecall		
XV9K	via	DJ6TF (B), (L)			
XW4KV	via	F4BKV (B), (L)			
XZ2B	via	JH3SIF (B), (L)			



*** Aufgrund der anhaltenden und sich ständig ändernden Situation von COVID-19 auf der ganzen Welt, können die angekündigten Aktivitäten ohne vorherige Ankündigung verkürzt, verschoben oder **sogar abgesagt werden.** ***

Abkürzungen:

ARLHS	Amateur Radio Lighthouse Society
DCI	D.C.I. (Diploma Castelli Italia) http://www.dcia.it/dci/
DCPC	D.C.P.C. (Diploma Castelli Provincia Cuneo)
DFCF	Diplome des Forts et Chateaux de France
DIFM	Diplôme des Iles de la France Métropolitaine
H/c	Homecall
ILLW	International Lighthouse Lightship Weekend
IOCA	Islands Of Croatia Award
IOTA	Islands on the Air
(L)	Logbook of the World
(O)	Online QSL Request System
POTA	Parks On The Air
RDA	Russian District's Award Program
RLHA	Russian Lighthouse Award
SNSM	Société Nationale des Sauveteurs en Mer
URE	Unión de Radioaficionados Españoles
WCA	World Castles Award
WLOTA	World Lighthouse On The Air Award
WRTC	World Radiosport Team Championship
WWFF	World Wide Flora & Fauna
YOTA	Youth On The Air

Wir bedanken uns für die Mitarbeit an dieser Ausgabe bei: I1JQJ/IK1ADH & 425 DX News, DX World, DXNews.com, VA3RJ, KB8NW & OPDX-Bulletin, DF6EX (für WIN-QSL), DL1BAH, DL1SBF, DL3FF, DL7MAE, EA3HKY, UA1OBA, F6AJA & Les Nouvelles DX, Islands On The Air, NG3K & ADXO, OE2IKN, OM3JW & IDXP, OZ6OM & 50 MHz DX News, W3UR & The Daily DX ...u.a.

Kostenloses Abo DXMB / DXNL:

DXMB Abonnement / DXNL Subscription

<https://www.darcdxhf.de/dxmb/>

PDF-Version in Deutsch (farbig, mit Bildern):

<https://www.darc.de/der-club/referate/dx/dxmb/>

TXT-Version deutsch (nur Text, ohne Bilder):

<https://www.darc.de/der-club/referate/dx/dxmb/>

TXT-Version englisch (nur Text, ohne Bilder):

<https://www.darc.de/der-club/referate/dx/en/dxnl/>

Archiv:

<https://www.darc.de/der-club/referate/dx/dxmb/>

DXMB-Homepage:

<https://www.darc.de/der-club/referate/dx/dxmb/>

